

Farbkonstanz durch Schätzen der Lichtquelle auf der Basis der Hypothese der grauen Varianz

Stephan Helling

RWTH Aachen

Farbwissenschaft und Farbbildverarbeitung

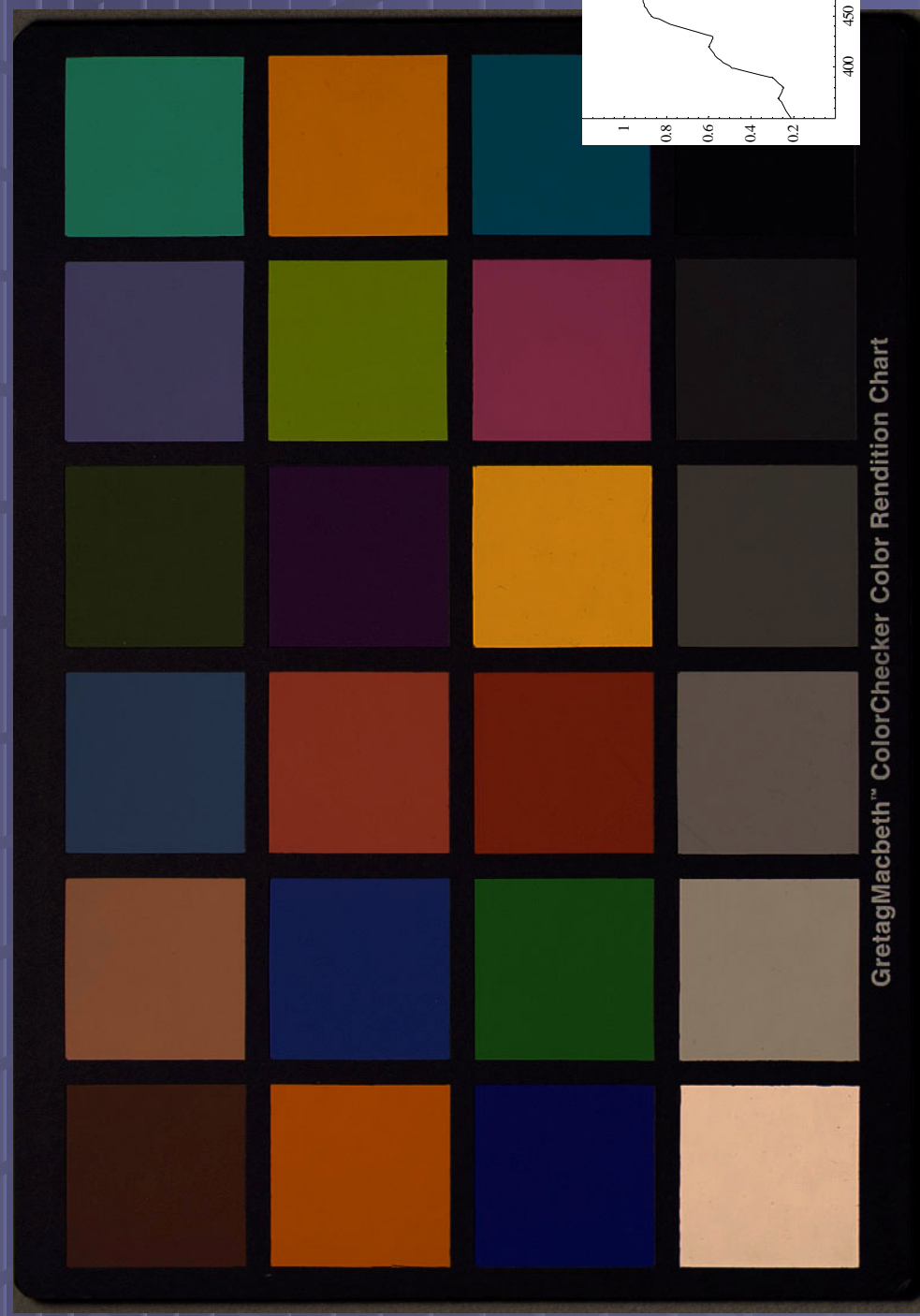
Überblick

- Problemstellung: Farbkonstanz
- Drei klassische Ansätze
- Hypothese der Grauen Varianz
- Ergebnisse: Schätzung der spektralen Verteilung der Lichtquelle und der korrespondierenden Sensorantwort

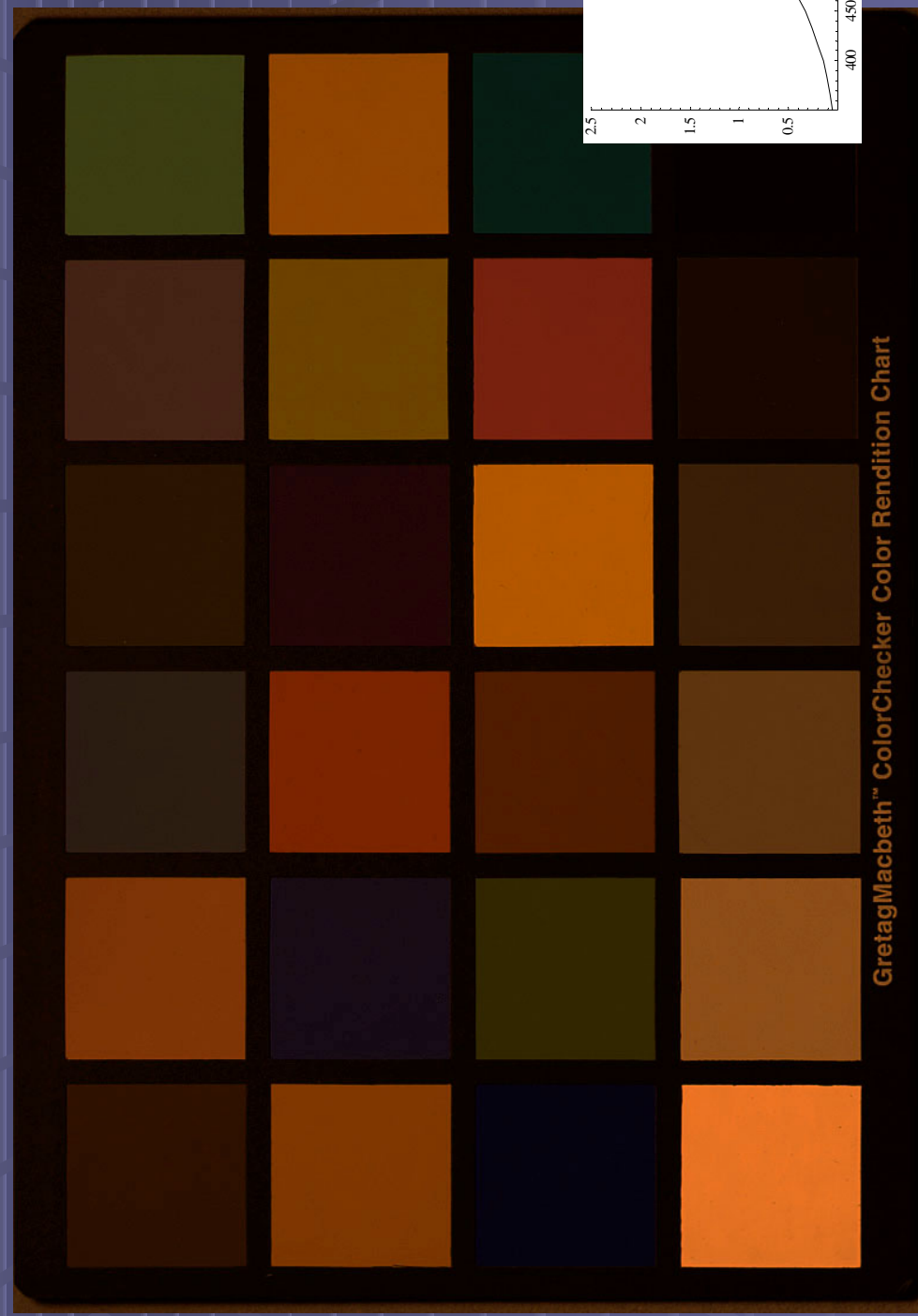
Problemstellung: Farbkonstanz



Problemstellung: Farbkonstanz



Problemstellung: Farbkonstanz



Problemstellung: Farbkonstanz

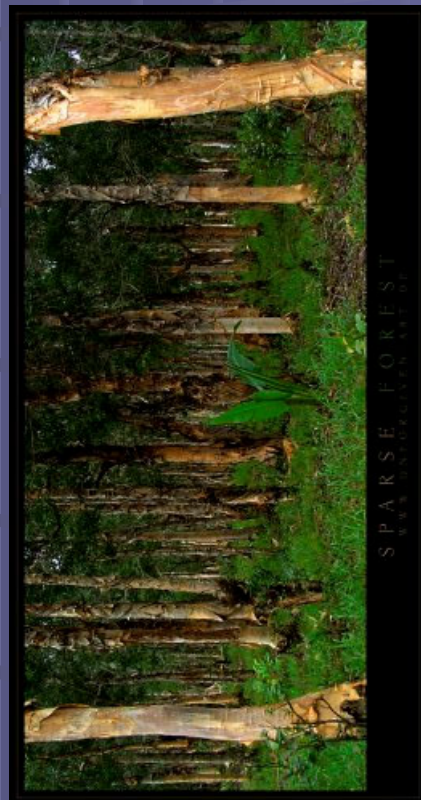
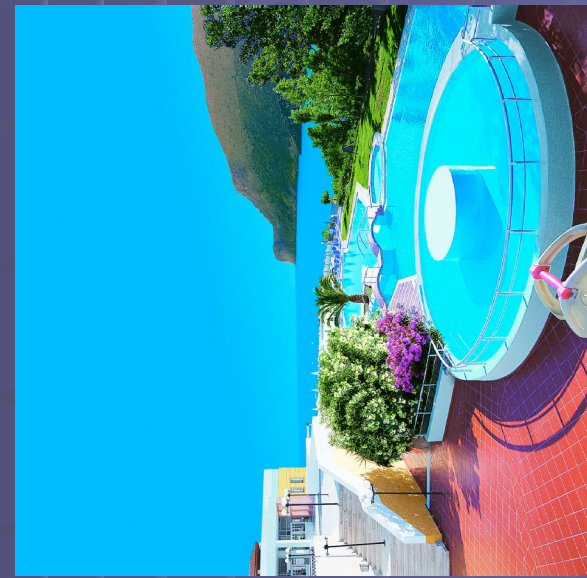
- Farbkonstanz: nur die Eigenschaften des aufgenommenen Objekts sollen abgebildet werden, nicht aber die der Lichtquelle

Drei klassische Ansätze

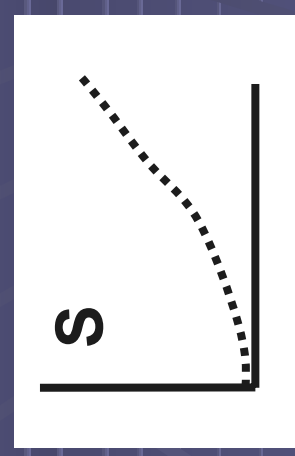
- Graue Welt

- RGBmax

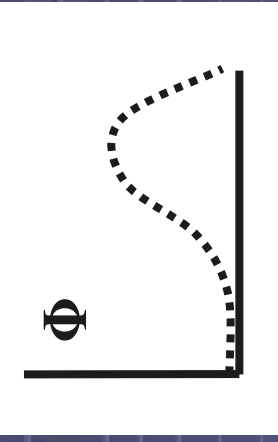
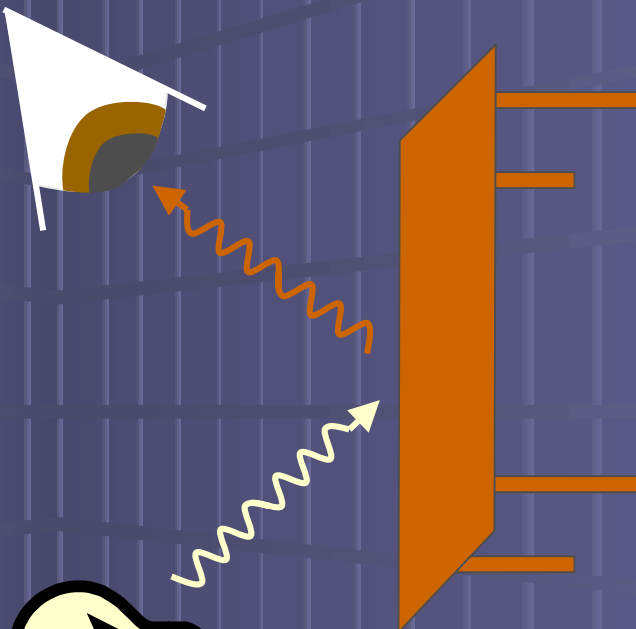
- Graue Kanten



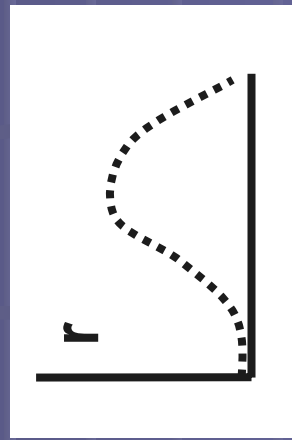
Entstehung des Farbreizes



spektrale
Verteilung der
Lichtquelle \mathbf{S}



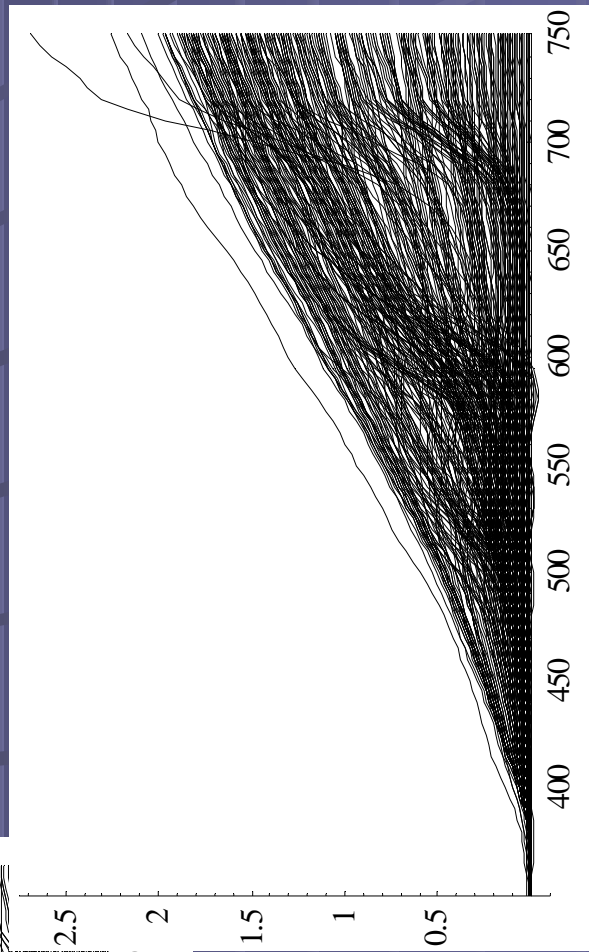
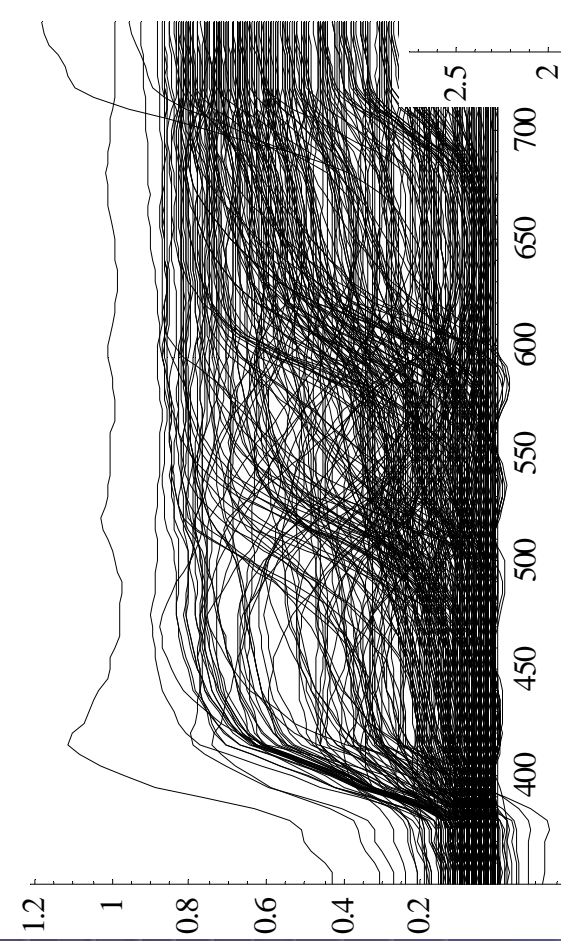
Farbreiz
 $\Phi = \mathbf{S} \cdot \mathbf{r}$



Remissions-
spektrum \mathbf{r}

Einfluß der Lichtquelle auf den Farbreiz

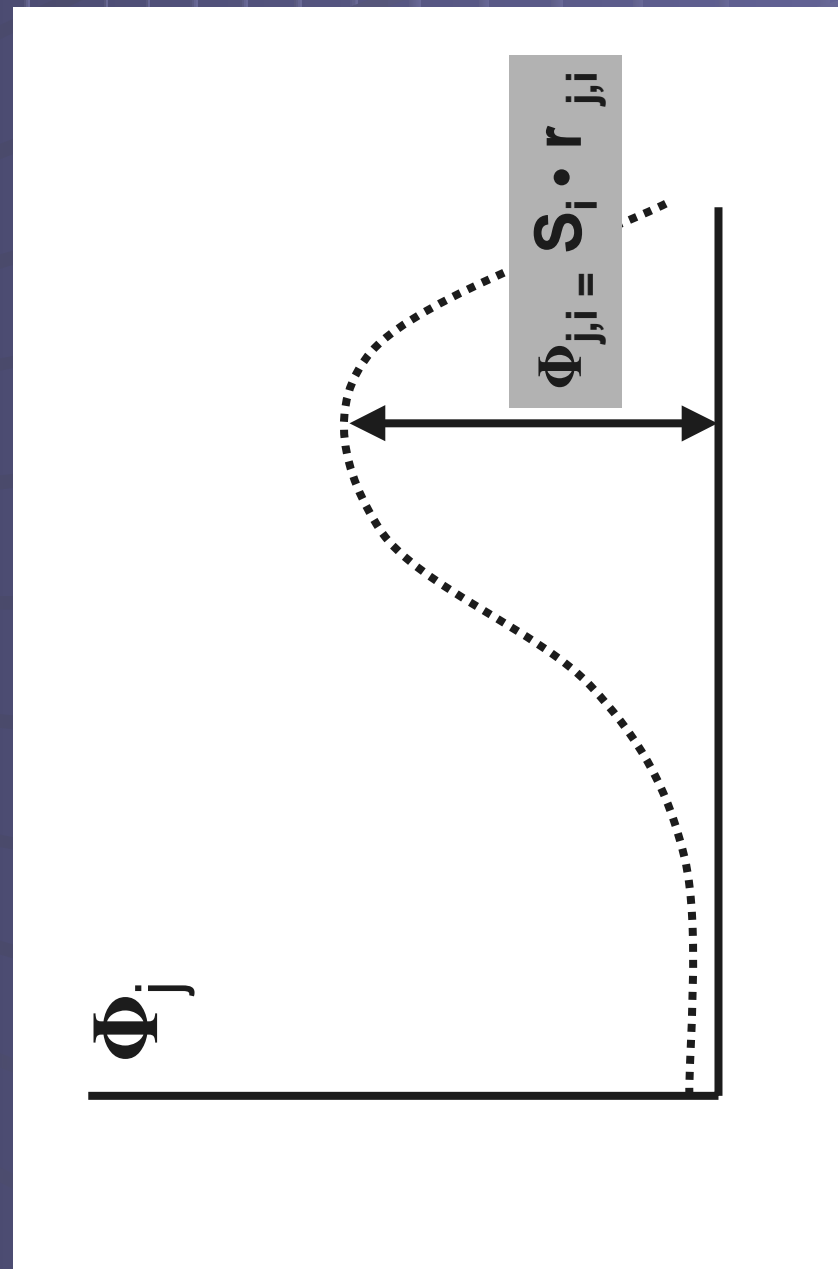
Vrhel-Datensatz



Vrhel-Datensatz
unter Normlicht A

Die Hypothese der Grauen Varianz

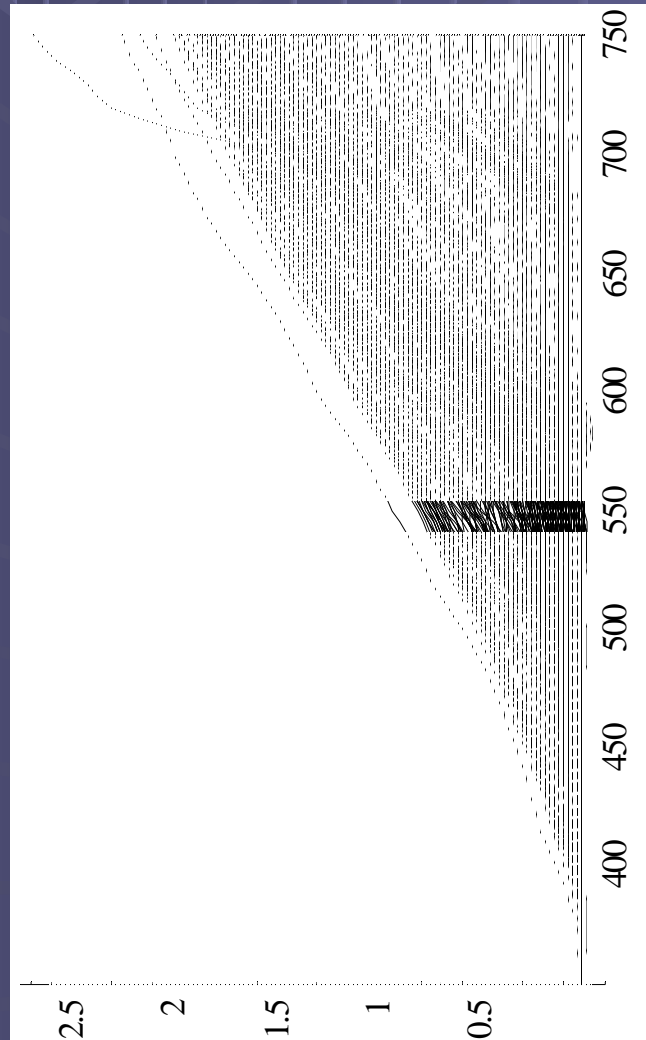
Farbreiz als Zufallsvariable mit Mittelwert und Varianz



Die Hypothese der Grauen Varianz

$$\begin{aligned} \text{Var}(\Phi_i) &= \text{Var}(S_i \cdot r_i) \\ &= S_i^2 \cdot \text{Var}(r_i) \\ &= S_i^2 \cdot K \end{aligned}$$

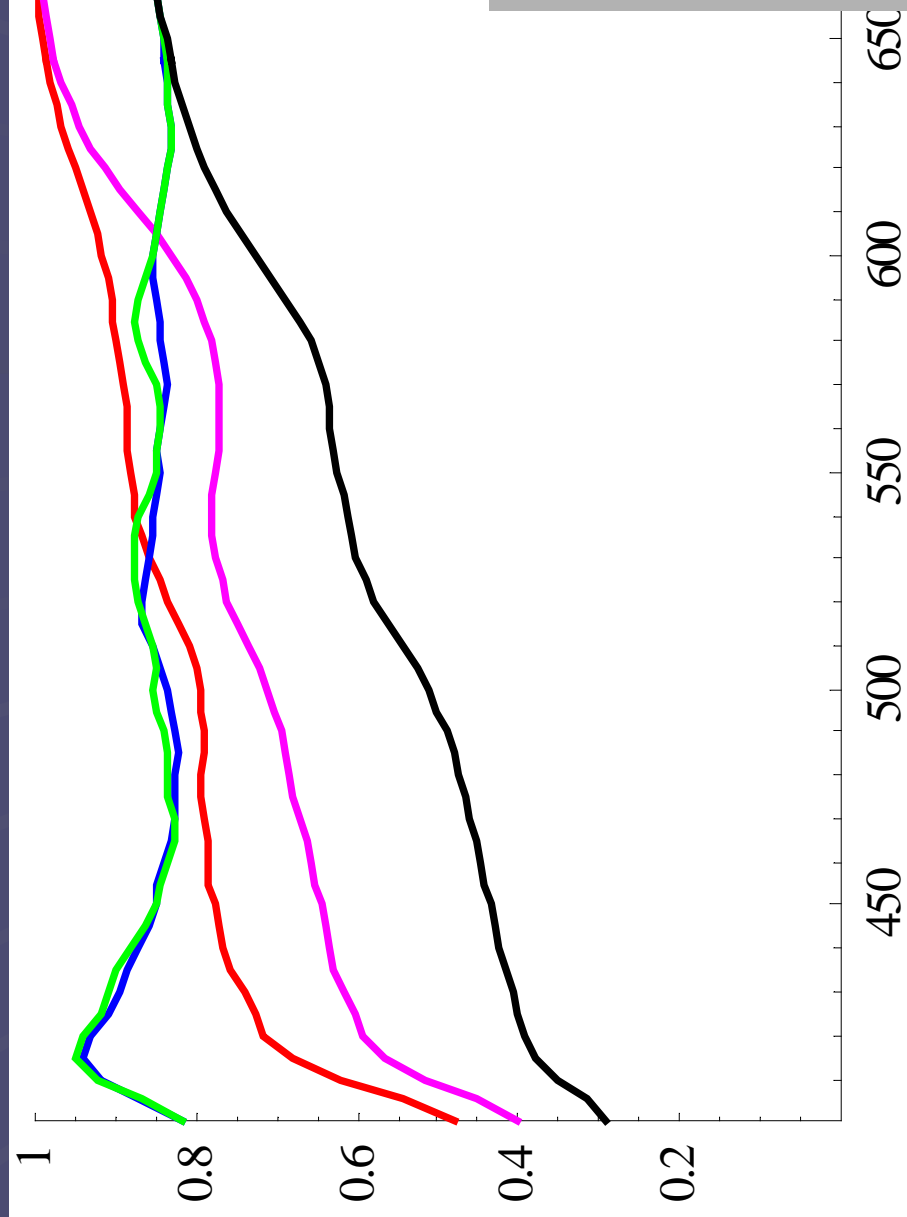
$$\text{Var}(\Phi_i) = \frac{\sum_j^K (\Phi_{j,i} - \bar{\Phi}_i)^2}{K - 1}$$



-> Graues Delta

Vergleich der Hypothesen

Vrhel



Die Hypothese der Grauen Varianz

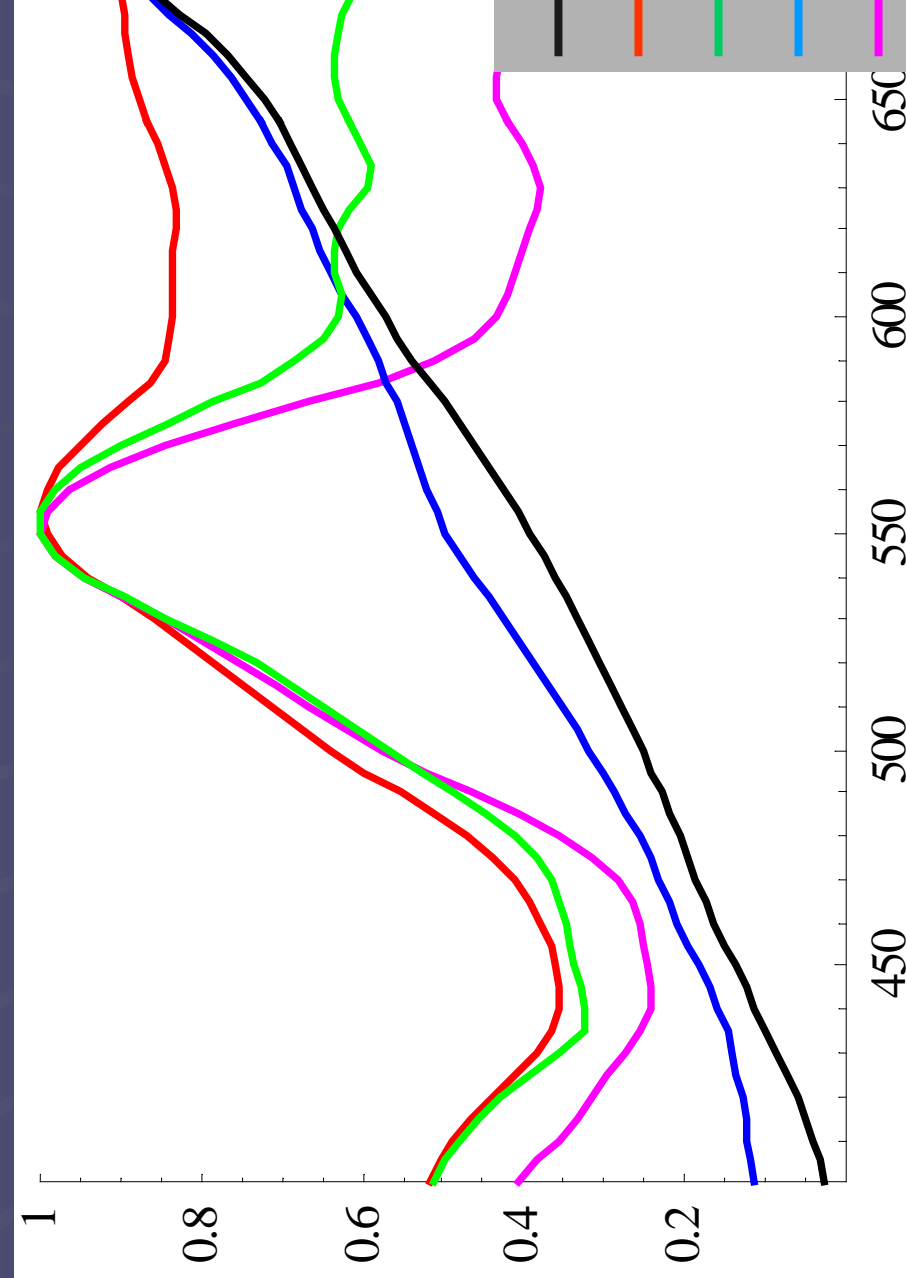
mittlere quadratische Abweichung vom Mittelwert Vrhel



Graue Welt	<u>0,067</u>
Graue Varianz	0,057
Graues Delta	0,013
RGBlmax	0,020
Graue Kanten	0,060

Die Hypothese der Grauen Varianz

Lumber

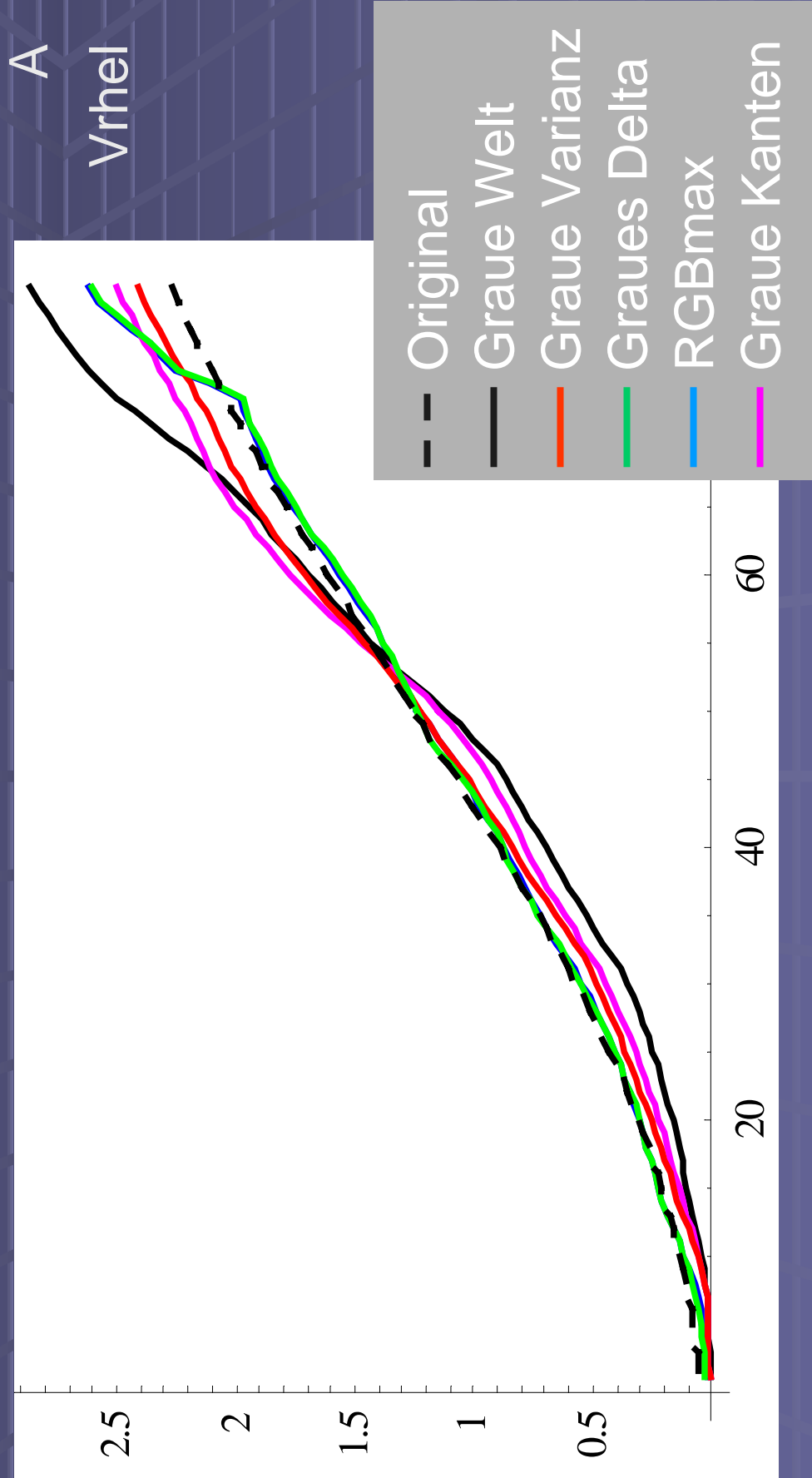


Die Hypothese der Grauen Varianz

mittlere quadratische Abweichung vom Mittelwert Lumber

Graue Welt	0,119
Graue Varianz	0,048
Graues Delta	0,028
RGBmax	0,100
Graue Kanten	0,042

Ergebnisse - Spektral

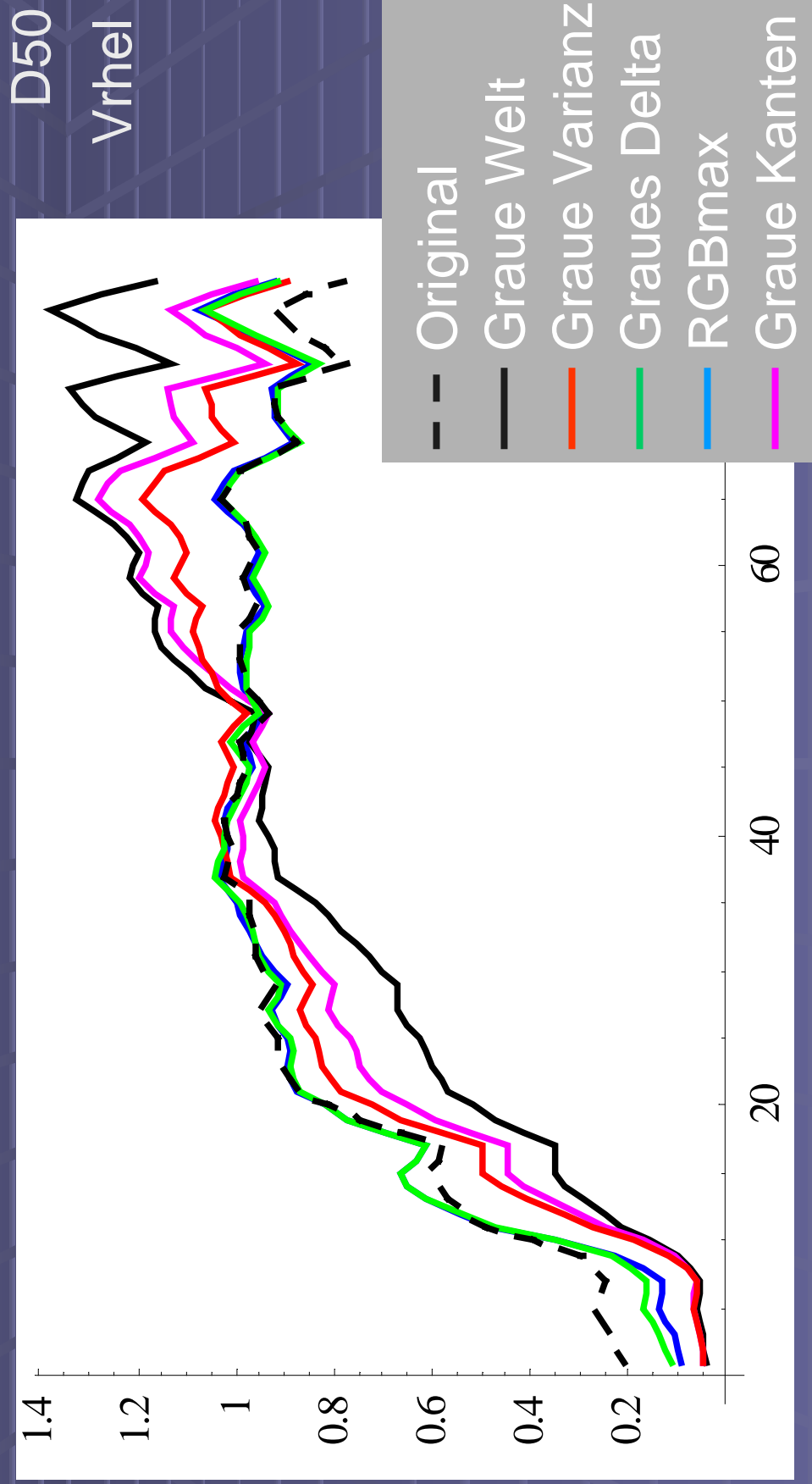


Ergebnisse - spektral

mittlere quadratische Abweichung vom tatsächlichen Verlauf

Graue Welt	4,626
Graue Varianz	0,556
Graues Delta	0,505
RGBmax	0,540
Graue Kanten	1,551

Ergebnisse - Spektral

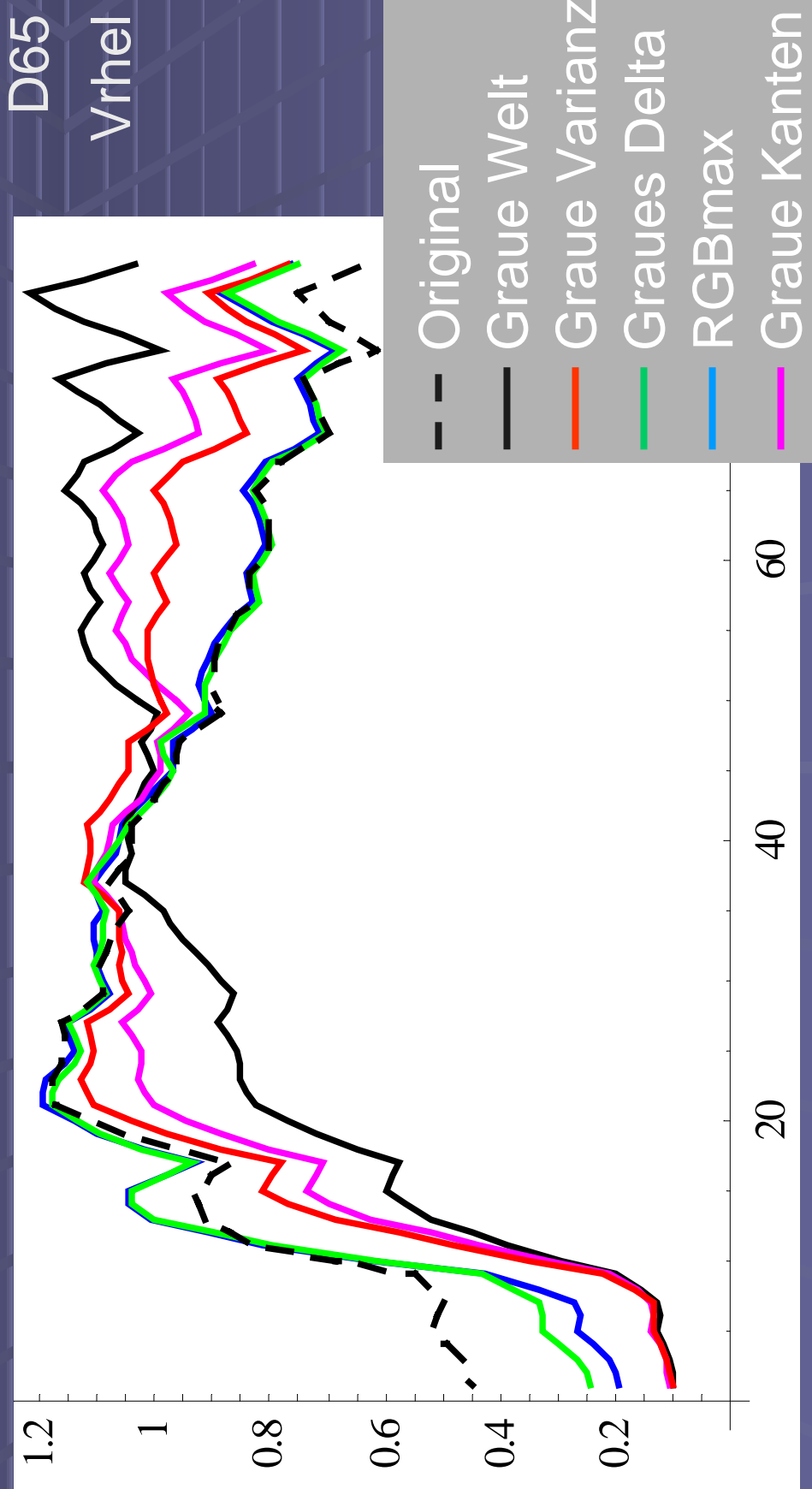


Ergebnisse - spektral

mittlere quadratische Abweichung vom tatsächlichen Verlauf

Graue Welt	5,064
Graue Varianz	1,122
Graues Delta	0,198
RGBmax	0,259
Graue Kanten	2,134

Ergebnisse - Spektral



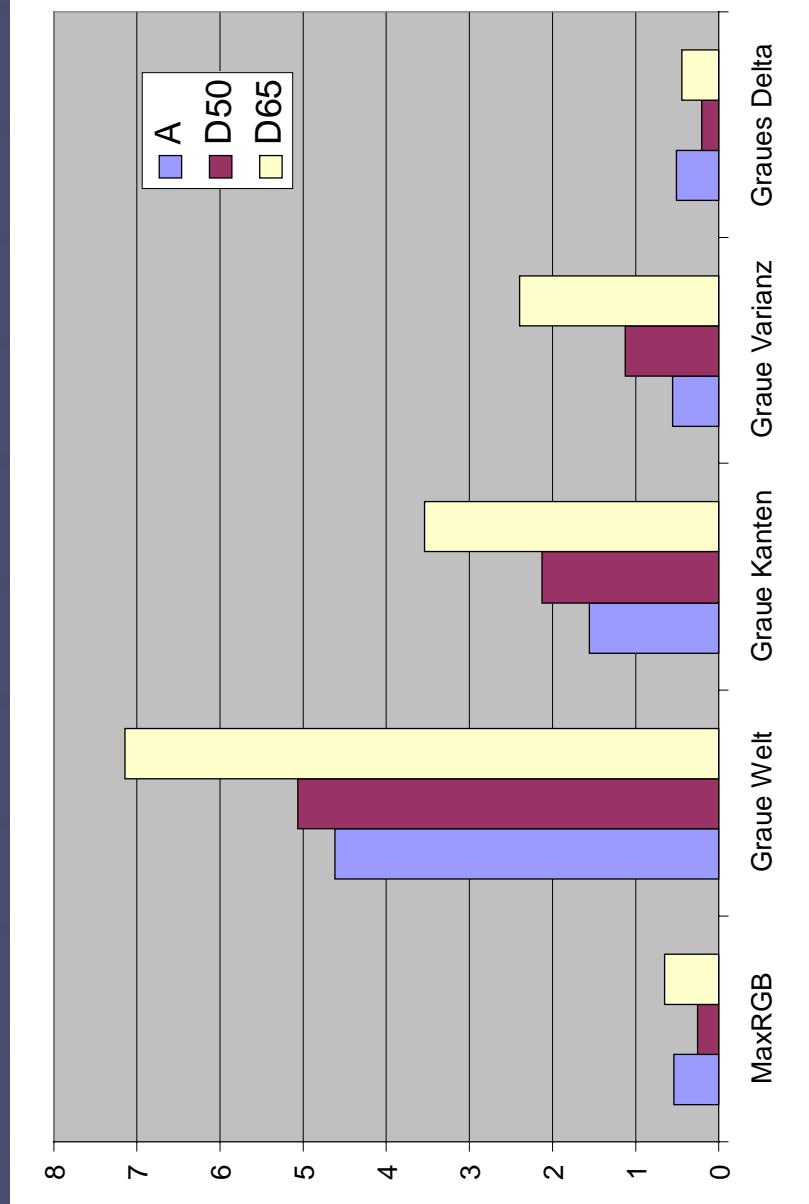
Ergebnisse - spektral

mittlere quadratische Abweichung vom tatsächlichen Verlauf

Graue Welt	7,139
Graue Varianz	2,401
Graues Delta	0,437
RGBmax	0,652
Graue Kanten	3,543

Ergebnisse - Spektral

mittlere quadratische Abweichung vom tatsächlichen Verlauf



Ergebnisse - Spektral

mittlere quadratische Abweichung vom tatsächlichen Verlauf

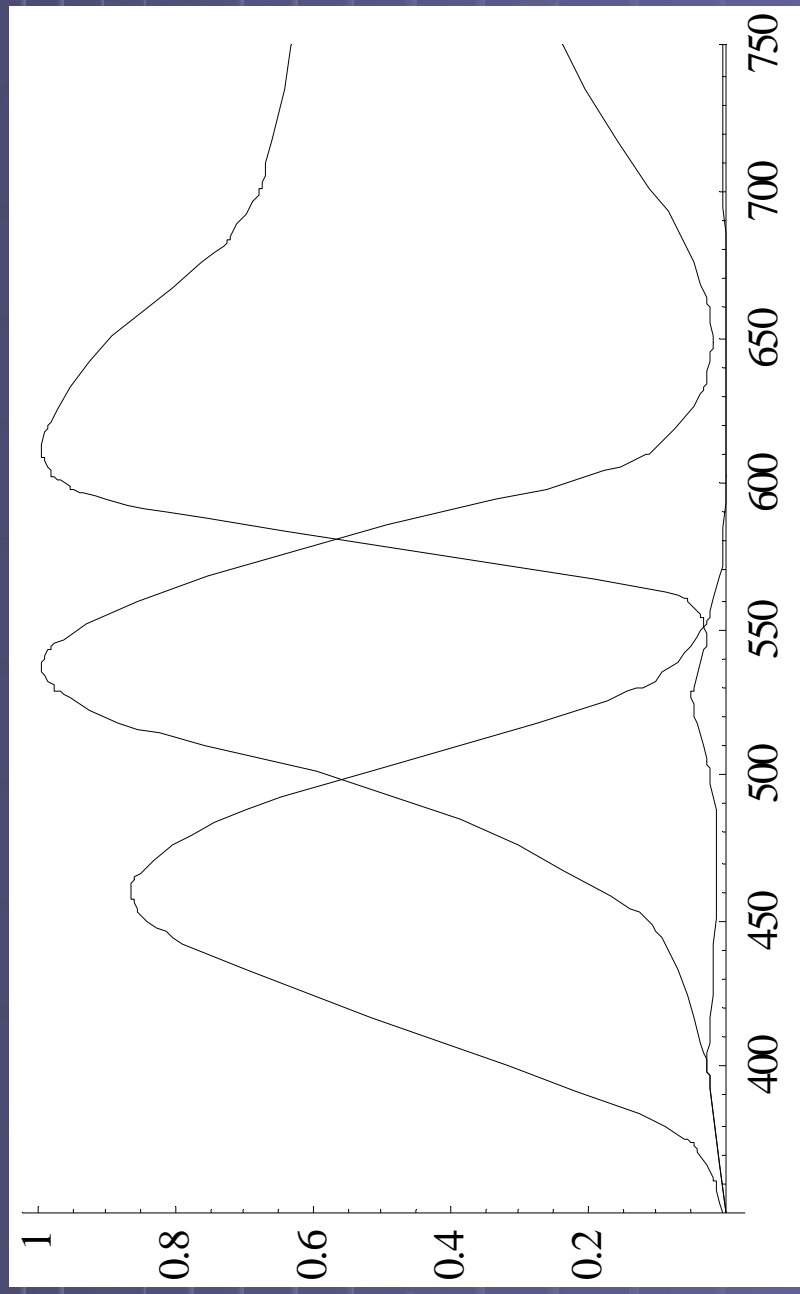
Datensätze: Vrhel, ColorChecker, Blue, Artificial FlowerS,
Lumber, Yellow, Red, Zanders, Natural Green

Lichtquellen: A, B, C, D50, D65, D75, G, P, Xe, E

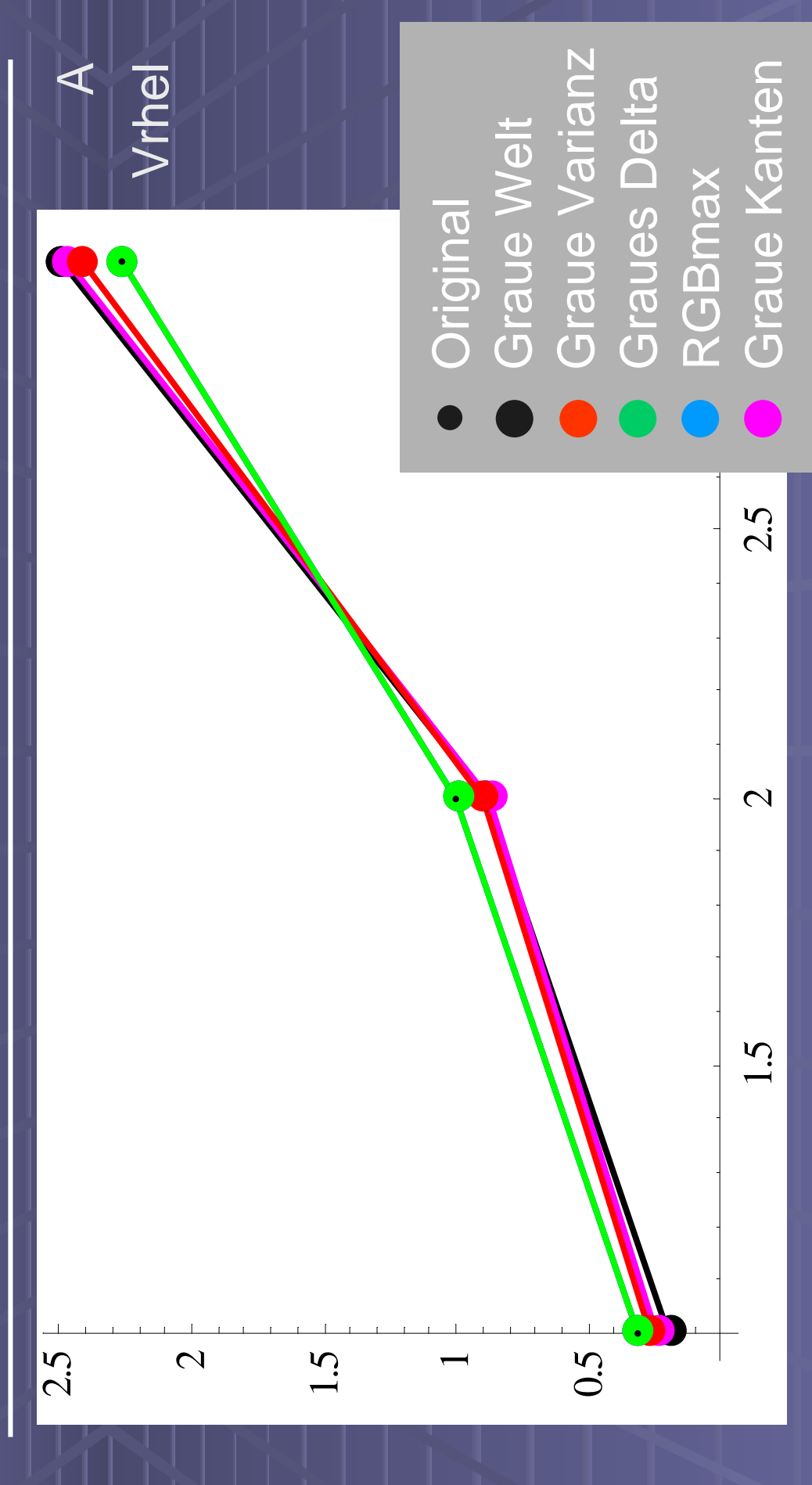
Graue Welt	30,87
Graue Varianz	11,31
Graues Delta	7,38
RGBmax	17,32
Graue Kanten	13,62

Anwendung auf Sensorsignale

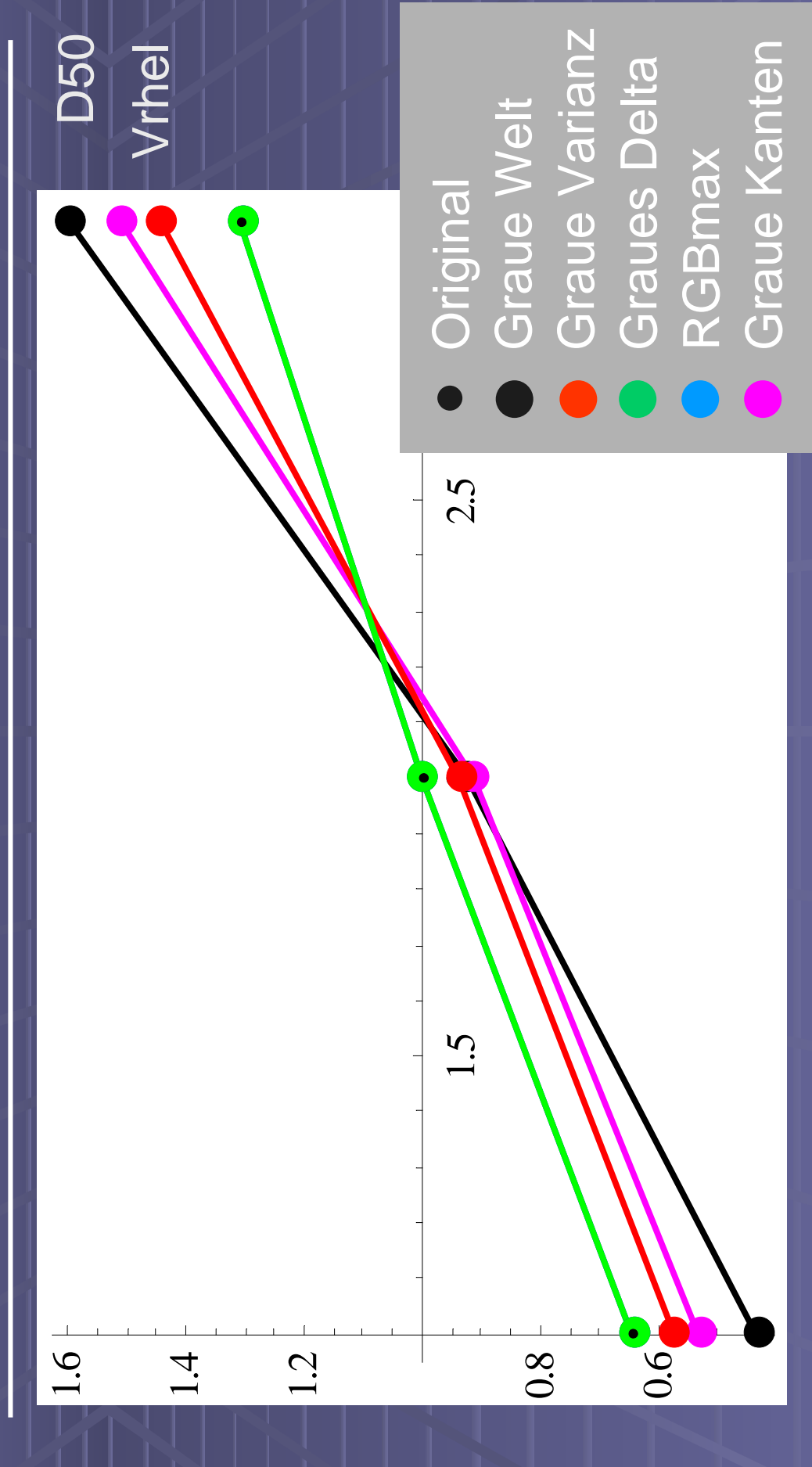
ICX205AK



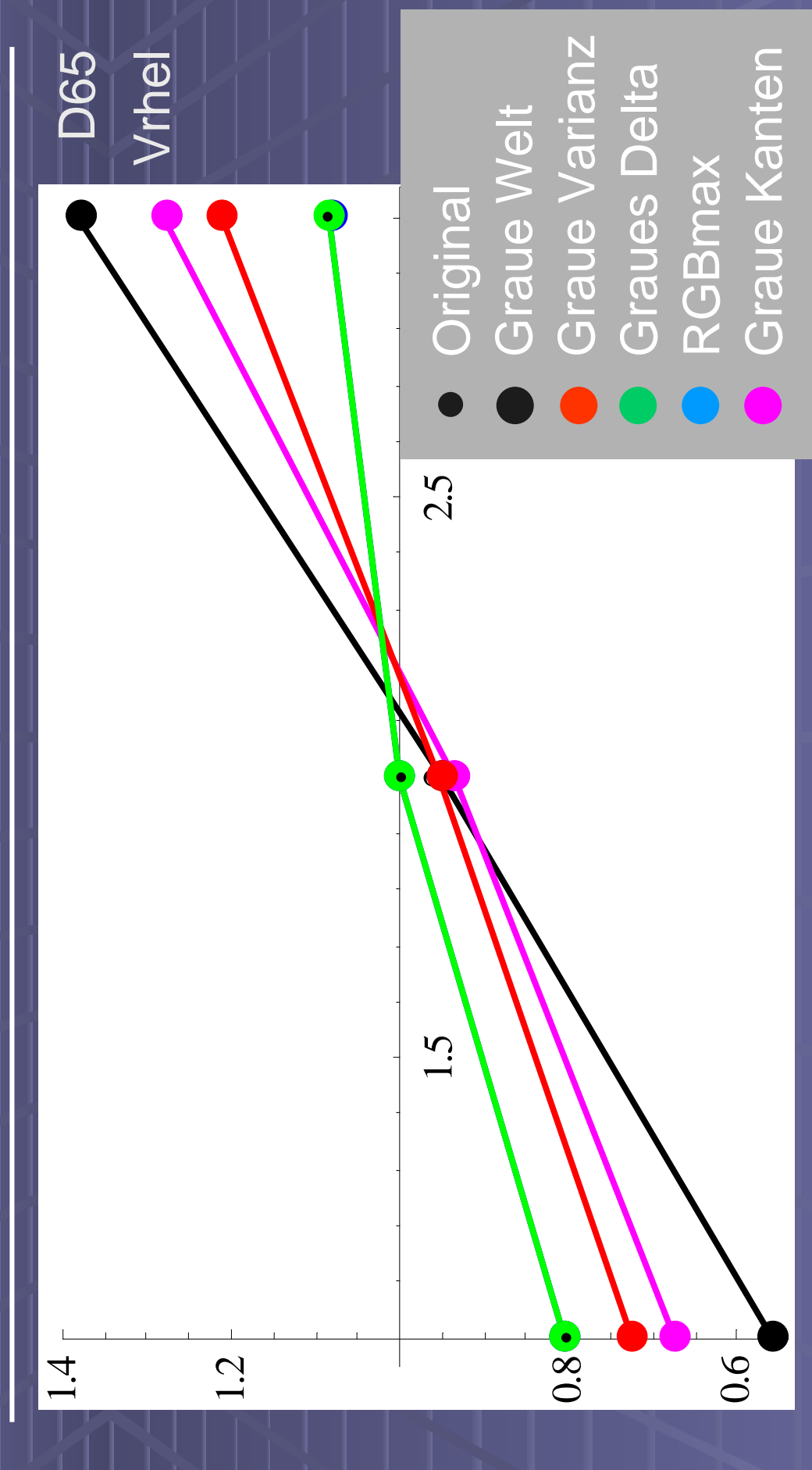
Ergebnisse – RGB-Sensor



Ergebnisse – RGB-Sensor

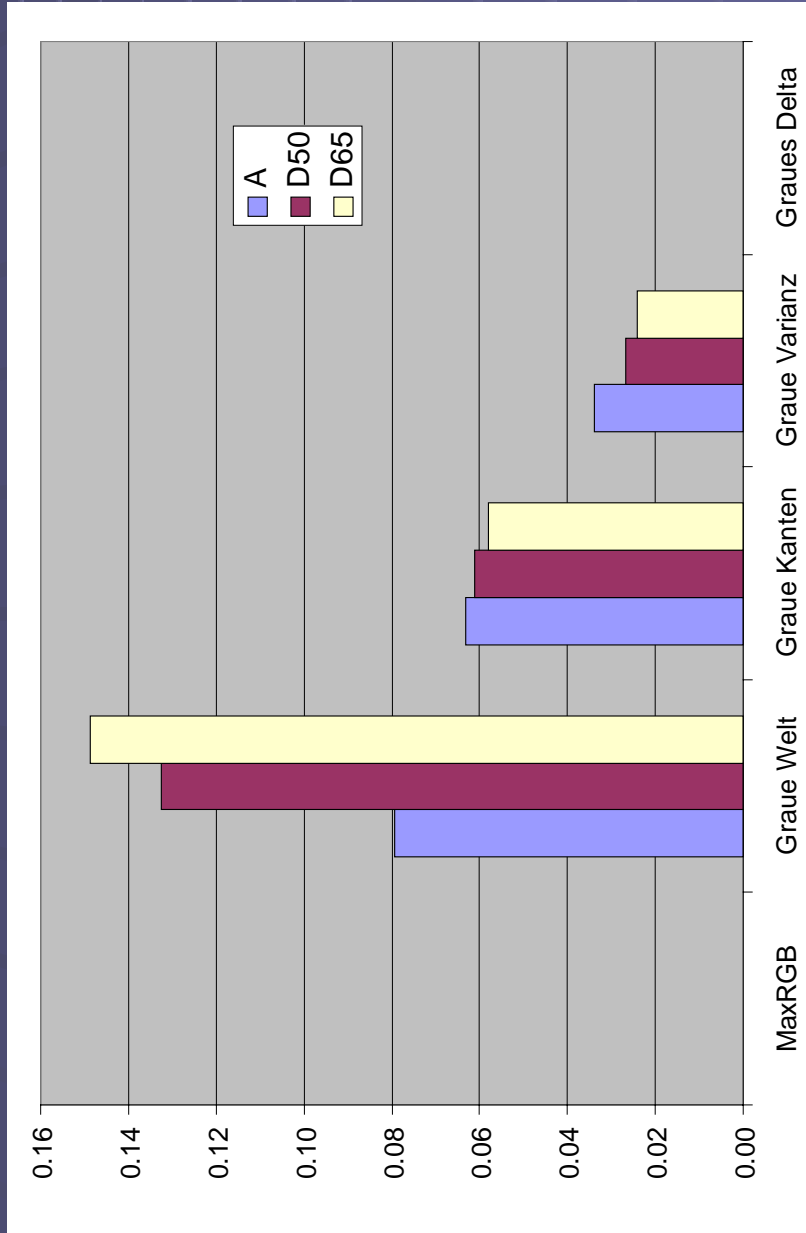


Ergebnisse – RGB-Sensor



Ergebnisse – RGB-Sensor

mittlere quadratische Abweichung von den tatsächlichen Signalen



Ergebnisse – RGB-Sensor

mittlere quadratische Abweichung von tatsächlichen Werten

Datensätze: Vrhel, ColorChecker, Blue, Artificial FlowerS,
Lumber, Yellow, Red, Zanders, Natural Green

Lichtquellen: A, B, C, D50, D65, D75, G, P, Xe, E

Graue Welt	0,607
Graue Varianz	0,306
Graues Delta	0,164
RGBmax	0,394
Graue Kanten	0,278

Zusammenfassung

- Hypothese der Grauen Varianz bzw. des Grauen Delta
- Schätzung der spektralen Verteilung der Lichtquelle
- Schätzung der zur Lichtquelle korrespondierenden Sensorantwort